XXI, № 5, 1968

химическая технология

УДК 66.096.5

ИССЛЕДОВАНИЕ ПРОЦЕССОВ ОБЖИГА КАФАНСКОГО ФЛОТАЦИОННОГО КОЛЧЕДАНА В ПЕЧИ КИПЯЩЕГО СЛОЯ И АБСОРБЦИИ СЕРНИСТОГО ГАЗА ВОДОЙ

II. ИССЛЕДОВАНИЕ МАССОПЕРЕДАЧИ, ЛИМИТИРУЕМОЙ ДИФФУЗИОННЫМИ СОПРОТИВЛЕНИЯМИ ГАЗОВОЙ И ЖИДКОЙ ФАЗ, В БАРБОТАЖНЫХ АППАРАТАХ С ПРОВАЛЬНЫМИ ТАРЕЛКАМИ

Р. В. ГРИГОРЯН и Г. О ГРИГОРЯН

Для анализа процесса абсорбции сернистого газа в барботажных аппаратах с провальными тарелками изучены процессы массопереноса, когда массопередача лимитируется, в основном, диффузионным сопротивлением газовой и жидкой фаз. Получение экспериментальные данные обобщены с помощью ЭВМ "Раздан-2», по известным в литературе критериальным зависимостям, и показано, что с большей точностью процессы массоотдачи в фазах описываются уравнением вида:

$$Nu' = ARe^m Pr^{0,5} \left(\frac{h_n}{h_{cr}}\right)^q$$

при расчете критерия Nu' по коэффициенту массоотдачи, отнесенному к объему пены на тарелке. Показана роль параметра ($h_{\rm fl}/h_{\rm cr}$) при выводе критериальной зависимости. Предложены новые уравнения для расчета процессов массоотдачи.

Абсорбция сернистого газа водой рассматривается как процесс, в котором оба фазовых диффузионных сопротивления влияют на скорость массопереноса.

Из анализа работ по абсорбции SO₂ водой [1—6] видно, что нет ясности относительно механизма массопереноса и факторов, влияющих на массопередачу, ввиду чего в ряде работ указанный процесс рассматривается как чисто физическая абсорбция [1, 2], поддающаяся расчету по уравнению массопередачи

$$\frac{1}{K_{\rm or}} = \frac{1}{K_{\rm r}} + \frac{1}{HK_{\rm w}} \,, \tag{1}$$

в других [3—6] отмечается влияние химической реакции. Для выяснения влияния химической реакции на процесс абсорбции сернистого газа водой в барботажных аппаратах с провальными тарелками и обсуждения полученных результатов в свете последних представлений о процессе массопередачи были исследованы два крайних случая физической абсорбции: десорбция СО₂ из воды в качестве процесса, лимитируемого диффузионным сопротивлением жидкой фазы, и абсорбция NH₃ водой для определения сопротивления газовой фазы; при этом было учтено влияние на указанный процесс жидкой фазы [6, 7]. В случае десорбции СО₂ сопротивление жидкой фазы составляет примерно 98°/0 от общего [2, 6].

Учитывая то, что данные по газовой и жидкой фазам будут использованы нами для расчета процесса абсорбции SO₂ водой при

внализе на основе двухпленочной теории для исключения влияния граничных условий при анализе все опыты проведены в одинаковых гидродинамических условиях в аппарате диаметром 85 мм на сетчатых провальных тарелках с эквивалентным диаметром отверстий (d_s) —3, 5, 6 и 8 мм и живым сечением тарелки (F_c) соответственно— 0,046; 0,128; 0,189 и 0,302 M^2/M^2 . Коэффициенты массоотдачи отнесены к площади тарелки $(K_{\Gamma_g}, K_{\mathbf{x}_g})$ и объему пены на ней $(K_{\Gamma_g}, K_{\mathbf{x}_g})$. Опыты проведены при температуре 20° C, скорость газа (W_r) изменялась от 0,14 до 1,3 M/сек., плотность орошения (L) от 0,000695 до 0,0278 M/сек. Движущая сила процесса определялась из расчета полного перемешивания жидкости на тарелке.

Экспериментальная часть

Схема экспериментальной установки приведена на рисунке 1. Воздух из воздуходувки (1), пройдя рессивер (2) и расходомер (4), поступал в увлажнитель—подогреватель воздуха (3) с проточной водой, температура котогой

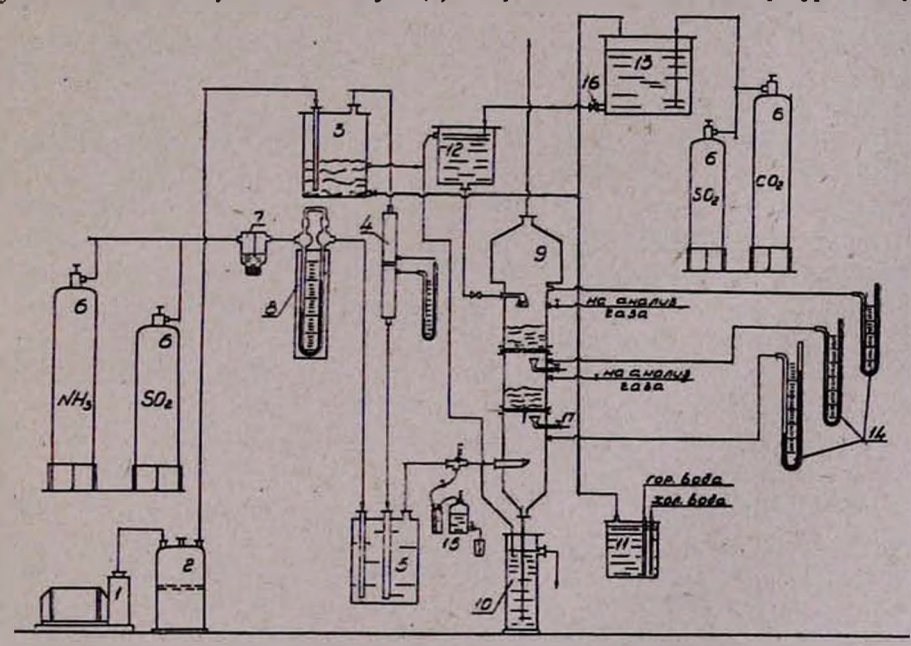


Рис. 1. Схема экспериментальной установки.

изменялась в соответствии с температурой опыта. В увлажнителе (3) воздух барботировал через слой жидкости и далее по отводной трубке, при температуре опыта поступал в брызгоотбойник-смеситель (5). Из смесителя воздух (в случае исследования десорбции) по газоходу направлялся в абсорбционную колонну (9). Темперстура воздуха регистрировалась термометром, установленным на газоходе у входа в абсорбер. Манометрами (14) фиксировалось давление воздуха на входе и выходе из абсорбера: Из аппарата воздушная смесь через газоотвод выбрасывалась в атмосферу. Одновременно из бак-мешалки (13) вода с определенным содержанием СО₂ (в случае десорбции) через напорный бэчок (12), обеспечивающий равномерность подачи, подавалась в абсорбционную колонну (9). Избыток жидкости из напорного бачка по

переливной трубке сливался в канализацию. В баке (13) необходимая температура поддерживалась подачей в него воды из смесителя (11), подключенного к водопроводным кранам с горячей и холодной водой. В случае опытов по абсорбции газа водой в смеситель воздуха (5) из баллона (6) через склянку Тищенко (7) и расходомер (8) подавался газ. Из смесителя газовая смесь при определенной концентрации по газоходу поступала в абсорбер (9). Вода для поглощения из смесителя воды (11) сразу подавалась в напорный бачок (12), оттуда в абсорбер. Для уменьшения влияния концевых эффектов подача воды в абсорбер осуществлялась через душевое устройство, установленное внутри колонны над исследуемой тарелкой. Отбор проб жидкости на выходе из тарелок производился с помощью воронки (18) и краника (19). Воронка была установлена в аппарате под тарелкой, на расстоянии 30 мм и имела объем 30 мл. Отбор проб газа на анализ производился с помощью тройников. установленных на газоходе на входе и выходе с тарелки. Абсорбционная колонна была собрана из секций, изготовленных из оргстекла, что позволяло вести визуальные наблюдения, и соединялась флянцами, между которыми зажимались испытываемые тарелки. В верхней части колонна имела расширение, позволяющее задерживать брызги жидкости из отходящих газов.

В опытах по десорбнии CO_2 из воды концентрация CO_2 в растворе составляла 0.9-1.3 г/л. Расчет движущей силы производили по анализам жидкости. При исследовании абсорбции NH_3 водой, данные опытов обрабатывались по анализу газа на входе и выходе аппарата. По каждому опыту проводилось 3-4 определения содержания газа в жидкости и два газовых анализа.

Пробы жидкости с тарелок на содержание CO_2 анализировались титрованием 0,1 μ раствором $Ba(OH)_2$ в присутствии $10^0/_0$ -ного раствора $BaCl_2$. Избыток $Ba(OH)_3$ оттитровывался 0,1 μ соляной кислотой в присутствии фенолфталеина. Пробы жидкости с тарелок на содержание NH_3 анализировались 0,1 μ раствором HCl в присутствии метилрота. Для поглощения NH_3 из смеси с воздухом при анализе газа использовали 0,1 μ раствор H_2SO_4 , избыток которой после пропускания смеси через поглотительный сосуд (метод Райха) оттитровывался 0,1 μ расгвором NaOH в присутствии метилрота.

Приемлемыми считались результаты, в которых отклонения не превышали ± 5 °/₀.

Массоотдача в жидкой фазе. Результаты экспериментов по десорбции CO_2 из водных растворов показали (табл. 1), что коэффициент массоотдачи K_{\varkappa_3} (м/сек.) растет с увеличением плотности орошения по зависимости

$$K_{ss_s} = C_1 L^{0.93}$$
 (2)

и изменяется с ростом высоты пены по выражению

$$K_{\mathbf{x}_{s}} = C_{2}h_{n}^{1.89}. \tag{3}$$

В указанных условиях коэффициент $K_{*_{\sigma}}$ (1/сек) увеличивается по зависимости

$$K_{\mathbf{w}_{v}}=C_{3}L^{0,4}. \tag{4}$$

Таблица 1 Зависимость коэффициента массоотдачи в жидкой фазе от расхода жидкости на тарелке

	μ γ.	Коко	Конц. в воде	СО ₂	neno co, ·	. сила	Коэффи массоот		0/0	50
Ne oninta	Плотность орошения м/сек	Высота Ип И	Cii	Ск	Hornougeno CO ₂ G _{CO} , , K2/4ac	Лвижущ. АСер, ка	<i>К</i> ж₃, .и/сек	<i>К</i> ж _ए , 1/сек	кпд 4,	Φaκτop Kw _e ΔPr-ж
1	0,000695	0,095	0.880	0,088	0,0102	0,343	0,00147	0,0155	90,4	0,40
2	0,00139	0,130	0,880	0,088	0,0206	0,342	0,00295	0,0226	91,0	0,60
3	0,00208	0,150	0,858	0,088	0,0301	0,336	0,00437	0,0290	90,7	0,75
4	0,00278	0,190	0,748	0,079	0,0359	0,294	0,00597	0,0315	91,0	0,80
5	0,00139	0,085	0,815	0,055	0,0198	0,280	0,0347	0,0409	92,5	1,15
6	0,00208	0,110	0,923	0,075	0,0330	0,336	0,00482	0,0438	92,4	1,24
7	0,00278	0,130	0,966	0,080	0,0461	0,355	0,00640	0,0492	92,3	1,40
8	0,00417	0,170	1,056	0,082	0,0760	0,371	0,01005	0,0590	93,0	1,68
9	0,00487	0,185	1,035	0,080	0,0870	0,370	0,01150	0,0621	92,9	1,72
10	0,00556	0,200	1,039	0,080	0,0997	0,372	0,0131	0,0655	93,1	1,75
11	0,00556	0,050	1,362	0,308	0,1190	0,709	0,00823	0,165	78,0	4,5
12	0,0111	0,075	1,145	0,264	0,1991	0,601	0,0163	0,217	77,5	6,0
13	0,0167	0,100	1,189	0,270	0,3090	0,616	0,0246	0,246	78,0	6,6
14	0,0222	0,125	1,270	0,300	0,4490	0,665	0,0328	0,263	77,5	7,3
15	0,0278	0,145	1,251	0,302	0,5400	0,659	0,0403	0,278	77,5	7,6
		-				101			1 -	

Примечание: Опыты $1\div 4$ проведены на тарелке 3-12 при расходе воздуха $V_0=2.4$ им³/час; $5\div 10$ — на тарелке 5-12 при $V_0=9.8$ им³/час; $11\div 15$ — на тарелке 8-12 при $V_0=13.5$ им³/час.

При рассмотрении влияния скорости газа (W_r) на величину коэффициентов K_* , и K_{*_v} замечено, что с увеличением W_r коэффициент K_* , растет, в то время как K_{*_v} уменьшается по выражению

$$K_{\mathbf{x}_{0}} = C_{4} W_{\mathbf{r}}^{-0.45} \tag{5}$$

и зависит от живого сечения тарелки (F_c) и плотности орошения. Изменение величины коэффициента $K_{\mathbf{x}_s}$ с увеличением W_r объясняется [8] изменением поверхности контакта на тарелке.

Из рассмотрения зависимости КПД (η) тарелки и фактора $K_{\mathbf{ж}_s}/\Delta P_{\mathbf{r}\cdot\mathbf{w}}$ от скорости газа видно (табл. 2), что несмотря на то, что КПД с ростом $W_{\mathbf{r}}$ незначительно увеличивается, экономичность тарелки, определяемая фактором $K_{\mathbf{w}_s}/\Delta P_{\mathbf{r}\cdot\mathbf{w}}$ [9], резко падает. Указанный фактор возрастает с увеличением плотности орошения (табл. 1), что позволяет рекомендовать для случая массопереноса в жидкой фазе работу при высоких L и возможно малых $W_{\mathbf{r}}$ в колонне.

Таблица 2

Зависимость коэффициента массоотдачи в жидкой фазе от скорости газа в аппарате

-	B03-	воз	слоя	Конц	. CO ₂	R. CO, PAKE K2/4ac	движ.	Коэффи массоот		0/0	=
Ne ontara	Расход в духа Vo.	Скорость духа Wr м/сек	Высота с	Сн	Ск	Поглощ. на тарел Ссо, кг	Средняя сила дС, кг/ж	<i>К</i> ж _s , м/сек	<i>К</i> ж _€ . 1/сек	(п) ппл	Kws II
1	2,40	0,145	0,098	0,790	0,066	0,0094	0,292	0,00150	0,0160	91,0	0,425
2	2,95	0,175		0,860	0,073	0,0102	0,312	0,00160	0,0136	91,9	0,320
3	3,50	0,206	0,135	1,100	0,070	0,0134	0,372	0,00176	0,0128	93,7	0,295
4	4,30	0,255	0,165	0,860	0,040	0,0107	0,266	0,00198	0,0118	95,3	0,264
5	5,00	υ,300	0,190	0,845	0,025	0,0108	0,232	0,00226	0,0113	97,0	0,260
6	11,8	0,68	0,083	1,250	0,310	0,372	0,670	0,0271	0,325	76,0	8,40
7	13,5	0,80	0,095	1,260	0,288	0,384	0,654	0,0290	0,311	78,0	7,70
8	16,5	0,97	0,118	1,260	0,395	0,395	0,628	0,0308	0,270	80,2	6,80
9	18,6	1,10	0,140	1,240	0,228	0,400	0,589•	0,0333	0,239	82,2	6,10
10	21,8	1,30	0,165	1,240	0,200	0,411	0,566	0,0356	0,217	84,9	5,20

Примечание: Опыты $1\div 5$ проведены на тарелке 3-12 с $F_{c}=0.046$ при L=0.000695 м/сек; $6\div 10$ — на тарелке 8-12 при L=0.0195 м/сек.

Массопередача в газовой фазе. Результаты экспериментов по абсорбции аммиака водой позволили установить (табл. 3 и 4), что коэффициент массоотдачи $K_{\rm F}$ в рассматриваемой системе на $15-40^{\rm 0}/_{\rm 0}$ выше общего коэффициента массопередачи ($K_{\rm or}$); при этом влияние жидкой фазы возрастает при малых скоростях газа в колонне (опыты 1-4 в таблицах 3 и 4).

Коэффициент массоотдачи в газовой фазе K_{r_s} увеличивается с ростом W_r (табл. 3) по выражению

$$K_{r_s} = C_5 W_r^{1.05}$$
 (6)

и изменяется с увеличением высоты пены по зависимости

$$K_{r_s} = C_6 h_n^{1,3}$$
 (7)

В указанных условиях коэффициент $K_{r_{\pi}}$ незначительно изменяется и в большей степени зависит от живого сечения и перфорации тарелки.

С ростом плотности орошения коэффициент K_{r_s} , как видно из данных таблицы 4, увеличивается по зависимости

$$K_{r_s} = C_7 L^{0.33}$$
. (8)

В указанных условиях коэффициент $K_{r_{\sigma}}$ уменьшается. Замечено, что с увеличением скорости газа (табл. 3) и уменьшением плотности

=1	-603-	b Fasa cek	CJ.		NH ₃ e, ⁰ / ₀	NН3 елке кг/час	H ₃	сила	Коэф. масс	опередачи	Коэф. ма	ссоотдачи	0.0	oj.
опыта	од в V ₀ ,	M/CC	ota *		3	_ Q	Конц. NH ₃ в растворе кг/лг ³	e, o	Kors,	Korg,	Kr _s ,	Kr,		ob 103
	X S S	0.1	Ö -	$Y_{\rm R}$	Yκ	Погл. на та <i>G</i> NH	DHC	Cp. ₁	кг	Кг	кг	кг	кпд	Фактор Кг _s
2	Pa	Č.	B _E			E #Q	K2	24	<i>ж</i> ²∙сек∙бар	<i>ж</i> ³-сек-бар	л/2-сек бар	.и ³ · сек · бар	X	ĕ 3
1	2,4	0,145	0,100	1,300	0,185	0,0205	1,58	0,00560	0,180	1,80	0,256	2,56	94,5	0,45
2	3,0	0,175	0,120	1,300	0,190	0,0249	1,91	0,00533	0,229	1,91	0,338	2,81	95,4	0,42
3	3,5	0,206	0,135	1,290	0,193	0,0295	2,26	0,00522	0,279	2,02	0,408	3,01	97,5	0,50
4	4,3	0,255	0,155	1,350	0,230	0,0370	2,84	0,00561	0,323	2,08	0,478	3,09	97,5	0,51
5	5,0	0,300	0,175	1,360	0,250	0,0529	3,26	0,00570	0,369	2,12	0,538	3,10	97,0	0,53
6	9,8	0,58	0,075	0,910	0,121	0,0592	0,0150	0,00386	0,750	10,0	0,799	10,5	86,5	2,42
7	11,8	0,68	0,085	0,850	0,112	0,0669	0,0168	0,00361	0,905	10,6	0,964	11,3	86,7	2,61
8	13,5	0,80	0,095	0,841	0,120	0,0743	0,0187	0,00361	1,015	10,7	1,095	11,4	85,7	2,73
9	16,5	0,97	0,115	0,810	0,118	0,0876	0,0220	0,00354	1,210	10,6	1,310	10,8	84,5	2,79
10	19,3	1,10	0,140	0,825	0,115	0,1040	0,0260	0,00351	1,450	10,4	1,560	11,1	86,0	2,95
11	21,8	1,30	0,160	0,860	0,122	0,1240	0,0313	0,00371	1,640	10,2	1,790	11,5	86,9	3,00
					-		1 -		- 33	- 2-7			200	1

 Π римечание: Опыты 1 \div 5 проведены на тарелке 3-12 при L=0,000695 м/сек; $6\div$ 10 на тарелке 8-12 при L=0,0195 м/сск.

Таблица 4

Зависимость коэффициента массоотдачи в газовой фазе от расхода жидкости в аппарате

-	b, L,	СЛОЯ	Конц	ι. NH ₃ 3e, ⁰ / ₀	e,	H3 K2/1/3.	сила бар.	Коэф.		Коэф. соот		0/0	103
№ OПЫТА	Плотності орошения ж/сек.	Высота с	У н	Yĸ	Clorn. NH Ha Tapeni K2/4ac	р-ре,	Ср. дв. с АРср., ба	Kors	Korv	Krs	Kro	кид 4.	ARTOP Krs 18
1	0,000695	0 095	1 310	0.185	0.0208	1.600	0,00542	0,188	1,88	0,267	2,78	94,5	0,48
							0,00436		1,86	0,306	2,65	96,1	0,45
					0,0217	0,555	0,00408	0,261	1,74	0,339	2,26	96,3	0,42
4					0,0216	0,415	0,00354	0,300	1,66	0,382	2,12	97,8	0,40
5					0,0719	0,032	0,00379	0,928	12,4	1,02	13,5	84,1	3,10
6	0,0167	0,090	0,820	0,120	0,0724	0,021	0,00360	0,981	11,0	1,10	12,2	85,4	2,97
7	0,0222	0,125	0.830	0,095	0,0773	0,017	0,00331	1,150	9,3	1,25	10,0	88,4	2,54
8	0,0278	0,150	0,855	0,075	0,0812	0,014	0,00312	1,280	8,6	1,42	9,5	91,2	2,12
								•	1 1	1		1	

Примечание: Коэф. Генри $H_{\rm NH_0}=530~\kappa z/{\it M}^3$ бар ($t=20^{\circ}$ C). Опыты $1\div 4$ проведены на тарелке с перфорацией $3-12~(V_0=2,4~{\it HM}^3/{\rm vac});~5\div 8$ на тарелке $8-12~(V_0=13,5~{\it HM}^3/{\rm vac}).$

орошения (табл. 4) экономичность тарелки возрастает. Это позволяет рекомендовать для процессов, лимитируемых сопротивлением газовой фазы, работу при высоких $W_{\rm r}$ и возможно малых L в колонне.

Обобщение экспериментальных данных. Результаты опытов по массоотдаче в жидкой и газовой фазах проверены методом наименьших квадратов на полупроводниковой ЭВМ "Раздан-2" и обобщены на основе общей теории подобия, т. е. представлены в виде степенных функций безразмерных критериев.

Экспериментальные данные по жидкой фазе, обработанные по предложенной [6] степенной зависимости

$$m_{x}Pe_{x}^{0.5} = 126000 h_{\pi}^{1.9},$$
 (9)

расположились на $30-35^{\circ}/_{\circ}$ выше уравнения линии (9). Подобное отклонение для аппаратов малого диаметра отмечается также в работах [6, 11], что позволяет заключить о надежности полученных опытных данных.

Результаты опытов обобщены также по критериальной зависи-мости вида

$$Nu' = ARe^{m} \left(Pr'\right)^{0.5} \left(\frac{h_{n}}{h_{cr}}\right)^{a}. \tag{10}$$

При введении в критерий Nu_{**}' и Re_{**} уравнения (10) в качестве определяющего линейного размера высоты пены (h_n) получено уравнение со значениями $A{=}391;\; m{=}0.85$ и $q{=}0.44$ (11). Отклонения дан-

ных опытов от уравнения (11) составили $\pm 20^{\circ}/_{\circ}$ (табл. 5). При замене высоты пены в указанных критериях эквивалентным диаметром отверстий (d_{\circ}) опытные данные в пределах отклонений $\pm 26^{\circ}/_{\circ}$ описываются уравнением (10) с $A=7,94,\ m=0.88$ и q=0.23 (12). В рассмотренных выше уравнениях (11, 12) критерий Nu_{\star} рассчитан по коэффициенту массоотдачи, отнесенному к площади тарелки.

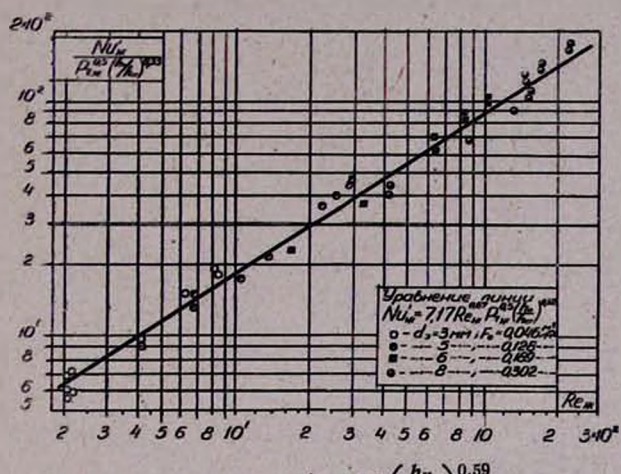


Рис. 2. Зависимость $Nu'_{_{\mathcal{H}}}/Pr^{0,5}_{_{_{\mathcal{H}}}}\left(\frac{h_{_{\rm II}}}{h_{\rm cr}}\right)^{0,59}$ от $Re_{_{\mathcal{H}}}$.

Большаков [2, 10], учитывая то, что точное определение размеров и числа газовых пузырьков, брызг жидкости и пены затруднено, отнес коэффициент массоотдачи к объему пены. Учитывая это обстоятельство, нами в данной работе критерий $Nu_{\rm ж}$ в уравнении (10) принят в следующем видоизменении:

$$Nu'_{\mathbf{x}} = \frac{K_{\mathbf{x}_{\mathbf{v}}} \left(\frac{\mu_{\mathbf{x}}^{2}}{g \, \tau_{\mathbf{x}}^{2}}\right)^{1/s} \cdot h_{\mathbf{n}}}{D_{\mathbf{x}}}$$
 (13)

Данные экспериментов по жидкой фазе обобщены с помощью зависимости (10) с учетом выражения (13) и, как видно из рисунка 2, с точностью $\pm 10^{\rm o}/_{\rm o}$ описываются уравнением, в котором A=7,17, m=0,67, g=0,32 (14). При замене в выражении (13) $h_{\rm n}$ на $d_{\rm s}$ опытные данные описываются при расчете по зависимости (10) с точностью $\pm 20^{\rm o}/_{\rm o}$ уравнением (15), в котором A=0,0129, m=0,87 и q=0,83. Критерий $Re_{\rm m}$ в уравнениях (14 и 15) рассчитан по $d_{\rm s}$.

В рассмотренных критериальных уравнениях (9, $11 \div 15$) в правой части, по аналогии с [7], введена безразмерная характеристика h_n/h_{cr} , показывающая связь физических и гидродинамических факторов в ходе определения скорости массопереноса. При обработке результатов опытов по зависимости (10) с учетом видоизменений, введенных для уравнения (15) без параметра (h_n/h_{cr}) получено уравнение (16)-(A=0.072, m=0.87), разброс точек относительно которого достиг

 $\pm 70^{\circ}/_{\circ}$. Следовательно, введение параметра ($h_{\rm n}/h_{\rm cr}$) в критериальное уравнение, произведенное впервые для барботажа Большаковым [7], является обоснованным и необходимым для правильного обобщения экспериментальных данных по массопереносу и на провальных тарелках.

Значения коэффициента A, показателей степени m и q и пределов отклонений опытных данных ($^0/_0$), полученные в уравнениях ($11 \div 16$) для жидкой фазы, приведены в таблице 5.

Таблица 3				
Предел от- клонений, ⁰ / ₀	q	m	A	№М уравн.
±20	0,44	0,85	391,0	11
±20	0,23	0,88	7,94	12
± 8	0,32	0,67	7,17	14
±20	-0,83	0,87	0,0129	15
±70	_*	0,87	0,072	16

Экспериментальные данные по газовой фазе проверены по предложенной [6] степенной зависимости

$$m_{\rm r} P e_{\rm r}^{0.5} = 1770 \, h_{\rm tt}^{1.2}$$
 (17)

и отвечают ей в пределах разброса точек.

Результаты опытов обработаны по зависимости (10) для газовой фазы. При введении в критерий $Nu'_{\rm r}$ и $Re_{\rm r}$ в качестве определяющего линейного размера — $h_{\rm n}$ опытные данные, обработанные по зависимости (10), с точностью $\pm 20^{\rm o}/_{\rm o}$ описываются уравнением, в котором A=92,5, m=0.74 и q=0.68 (18), (табл. 6). При замене высоты пены в критериях $Nu'_{\rm r}$ и $Re_{\rm r}$ эквивалентным диаметром $(d_{\rm s})$ получено уравнение (19), в котором A=6.39; m=0.82 и q=-0.18. В уравнениях (18 и 19) критерий $Nu'_{\rm r}$ рассчитывается по коэффициенту $K_{\rm r_s}$ (m/сек.).

В работе [7] критерий $Nu'_{\rm r}=\frac{K'_{\rm r_s}\cdot l}{D_{\rm r}}$ в уравнении (10) принят в следующем видоизменении:

$$Nu'_{r} = \frac{K_{r_{v}} \cdot h_{n}(P_{b}) \delta \cdot M_{A}}{D_{r} \cdot \rho_{A}} \sqrt{\frac{\sigma_{w}}{\gamma_{w}}}$$
 (20)

В выражении (20) вместо коэффициента K_{r_s} принят коэффициент $K_{r_v}\left(\frac{\kappa z}{m^3\,\,\mathrm{сеk}\cdot\mathrm{баp}}\right)$. Данные опытов, обобщенные с помощью критериальной зависимости (10) с учетом выражения (20), как видно из таблицы 6, в пределах отклонения $\pm 8^{\circ}/_{\circ}$ описываются уравнением (21), в котором A=158.9; m=0.46 и q=0.59. Критерий Re_r в урав-

нении (21) рассчитан по эквивалентному диаметру отверстий (d_{2}) . При введении в формулу для Re_r вместо d, высоты пены (h_n) опытные данные, как видно из рисунка 3, с точностью $\pm 12^{0}/_{0}$ описываются уравнением (22), где $A=1,67;\; m=0,66$ и q=-0,13 (табл. 6). При

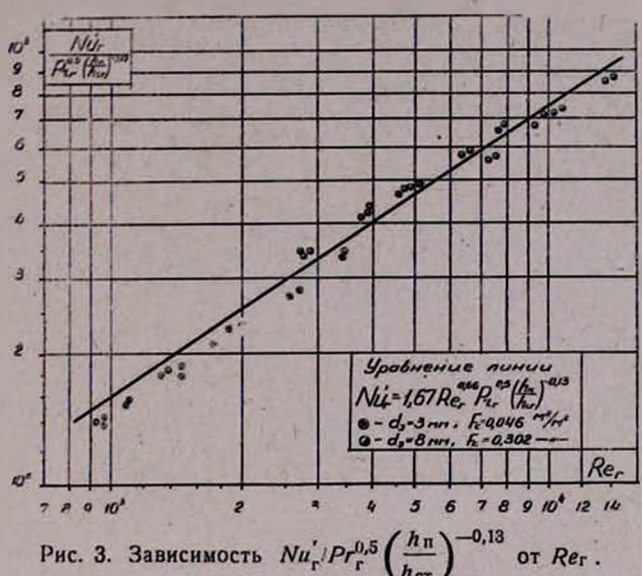


Рис. 3. Зависимость $Nu'_{\Gamma}/Pr'_{\Gamma}^{0,5}\left(\frac{h_{\Pi}}{h_{CT}}\right)$

замене в выражении (20) высоты пены на d_9 , по рекомендации [2], опытные данные, рассчитанные по зависимости (10), в пределах отклонения $\pm 10^{\circ}$ описываются и уравнением (23), в котором A ==0,0846; m=0,82 и q=-0,64. Значения A, m и q, а также предела отклонений для полученных уравнений по газовой фазе приведены в таблице 6.

Таблица 6 Предел от-NoNe A клонений. m q уравн. 0/n 18 92,5 0,74 0,68 ±20 19 6,39 0,82 -0.18 ± 20 21 158.9 0.46 0,59 ± 8 22 1,67 0,66 -0.13±12 23 0,0846 0,82 -0,64±10

Анализ рассмотренных критериальных уравнений показал, что наиболее надежные критериальные зависимости получены при расчете массопереноса по коэффициентам массоотдачи в фазах, отнесенным к объему пены на тарелке (K_{r_o}, K_{κ_o}) с учетом параметра $(h_n/h_{c\tau})$, что позволяет рекомендовать для расчета процессов массопередачи в жидкой фазе уравнение

$$Nu'_{*} = 7,17Re^{0.67}_{*}(Pr'_{*})^{0.5} \left(\frac{h_n}{h_{cr}}\right)^{0.32},$$
 (14)

а для газовой фазы уравнение

$$Nu'_{\rm r} = 158.9 \, Re_{\rm r}^{0.46} \, (Pr'_{\rm r})^{0.5} \left(\frac{h_{\rm n}}{h_{\rm cr}}\right)^{0.59},$$
 (21)

Ереванский научно-исследовательский институт химии

Поступило 17 II 1966

ԵՌԱՑՈՂ ՇԵՐՏԻ ՏԻՊԻ ՎԱՌԱՐԱՆՈՒՄ ՂԱՓԱՆԻ ՖԼՈՏԱՑԻՈՆ ԿՈԼՉԵԴԱՆԻ ԱՅՐՄԱՆ ՊՐՈՑԵՍԻ ԵՎ ՍՏԱՑՎՈՂ ԾԾՄԲԱՑԻՆ ԳԱԶԻ ՋՐՈՎ ԿԼԱՆՄԱՆ ՈՒՍՈՒՄՆԱՍԻՐՈՒԹՅՈՒՆԸ

II. ՄԱՍՍԱՀԱՂՈՐԴԱԿԱՆՈՒԹՑԱՆ ՈՒՍՈՒՄՆԱՍԻՐՈՒԹՑՈՒՆԸ ԹԱՓՈՂ ՏԻՊԻ ԱՓՍԵՆԵՐՈՎ ԲԱՐԲՈՏԱԺԱՅԻՆ ԱՊԱՐԱՏՆԵՐՈՒՄ, ԵՐԲ ՊՐՈՑԵՍԸ ԼԻՄԻՏԱՎՈՐՎՈՒՄ Է ՀԵՂՈՒԿ ԵՎ ԳԱԶ ՖԱԶԱՆԵՐԻ ԴԻՖՈՒԶՒՈՆ ԴԻՄԱԴՐՈՒԹՑՈՒՆՆԵՐՈՎ

ቡ. Վ. ԳՐԻԳՈՐՑԱՆ և Գ. Հ. ԳՐԻԳՈՐՑԱՆ

Ամփոփում

Ջրով ծծմբային գազի կլանման պրոցեսը թափվող տիպի ափսեներով բարբոտաժային ապարատներում անալիզի ենթարկելու համար ուսումնասիրված են մասսափոխանակման պրոցեսները, երբ մասսահաղորդումը հիմնականում լիմիտավորվում է գազ և հեղուկ ֆազաների դիմադրություններով,
ստացված փորձնական տվյալները ընդհանրացված են «Հրազդան Ձ» ԷՀՄ-ի
օգնությամբ և ցույց է տրված, որ եթե Nu-կրիտերիայի հաշվումը կատարհը
ըստ մասսատրման գործակցի՝ բերված ափսեների վրա փրփրի ծավալի, ապա

$$Nu' = ARe^{m}(Pr')^{0.5} \left(\frac{h_{n}}{h_{cr}}\right)^{q}$$

նջված կախվածութվան դուրս բերման ժամանակ ցույց է տրված hո/he պա-

Մասսատրման պրոցեսների հաշվարկման համար առաջարկված են նոր կրիտերիալ հավասարումներ։

ЛИТЕРАТУРА

- 1. Р. В. Григорян, Г. О. Григорян, М. Г. Манвелян, Арм. хим. ж., 20, 840 (1967).
- 2. Г. О. Григорян. А. Г. Большаков, Науч. зап. Одесского политехн. института, (ОПИ), 2, 61 (1956), Одесса.
- 3. A. O. Nijsing, R. H. Hendriksz, H. J. Kramers, Chem. Eng., Sci., 10, No 1, 88 (1959).

- 4. R. P. Whitney, J. R. Vivian, Chem. Eng. Progr., 45, 323 (1949).
- 5. D. A. Pearson, L. J. Lundberg, Chem. Eng. Progr., 47, 237 (1951).
- 6. А. Г. Кисаткин, Д. М. Попов, Ю. Н. Дытнерский, Хим. пром. № 2. 123 (1962). 7. А. Г. Большаков, Научн. зап. Одесского политехн. института, (ОПИ), 2, вып. 2
- (1954). 8. А. Н. Радионов, А. М. Кашников, Сб. Процессы химической технологии. Гидро-
- А. Н. Радионов, А. М. Кашников, Сб. Процессы химической технологии. "Гидродинамика, тепло- и массопередача". Изд. Наука, Москва, 1965, стр. 244.
- 9. И. Н. Кузьминых, А. Н. Радионов. Изв. ВУЗ-ов. Х и ХТ. 2, № 1, 63 (1959).
- 10. Г. Н. Гасюк. А. Г. Большаков, А. В. Картнев, Хим. пром., № 5, 399 (1960).
- 11. В. В. Кафаров, Ю. Г. Зелинский, ЖПХ, 36, 1731; 2210 (1963).